

## rész I

# A Landauer szemléletmód

A Landauer elmélet alapvető üzenete hogy egy nanoszerkezetben mért vezetőképesség direkt kapcsolatban áll a nanoszerkezet kvantummechanikai szórási tulajdonságaival. Ebben a fejezetben röviden felelevenítjük Landauer gondolatmenetét.

Először is képzeljünk el két töltés tartály-t amelyek között egy kis  $\delta\mu$  kémiai potenciál különbség van. Kösse össze ezt a két tartályt egy ideális egydimenziós vezeték. Ekkor a vezetéken meginduló  $\delta I$  áram a következő alakot ölti

$$\delta I = ev \frac{\partial n}{\partial E} \delta\mu. \quad (1)$$

Itt  $v$  az elektronok sebessége,  $e$  az elektron töltése illetve  $\partial n / \partial E$  a vezeték állapot sűrűsége. Az állapotsűrűséget hullámszám térben kifejezve kapjuk hogy:

$$\frac{\partial n}{\partial E} = \frac{\partial n}{\partial k} \frac{\partial k}{\partial E} = \frac{1}{2\pi} \frac{1}{\hbar v}. \quad (2)$$

Tehát az áram kifejezése a

$$\delta I = \frac{e}{h} \delta\mu = \frac{e^2}{h} \delta V, \quad (3)$$

alakra egyszerűsödik. Ha az ideális vezeték egy szórási tartományon keresztül köti össze a két töltés tartályt akkor a töltések csak valamilyen  $T$  transzmissziós valószínűséggel tudnak eljutni a célíg. Azaz az áram

$$\delta I = \frac{e^2}{h} T \delta V \quad (4)$$

alakú lesz. Ebből a kifejezésből le tudjuk olvasni a kis feszültségek esetén mért vezetőképességet:

$$\mathcal{G} = \frac{e^2}{h} T. \quad (5)$$

Ez a Landauer formula. Ha a szórási tartomány-t egy  $S$  szórás mátrixal jellemezzük aza akkor a transzmissziós valószínűség és a szórás mátrix transzmissziós amplitúdói közt az ismert

$$T = \sum_{i,j} |t_{i,j}|^2 = \text{Tr}(t^\dagger t) \quad (6)$$

kapcsolat áll fenn.

## rész II

# Egy dimenziós diszkrét szórásprobléma

Ebben a fejezetben a legegyszerűbb egy dimenziós szórásproblémákat fogjuk vizsgálni egy diszkrét rácson. A probléma megoldását Green függvények segítségével keressük. Először egy végtelen lánc Green függvényét számítjuk ki majd ebből megfelelő peremfeltételek segítségével felírjuk a félvégtelen lánc Green függvényét. A félvégtelen lánc Green függvényének birtokában megoldunk néhány alapvető szórásproblémát.

## 1. Végtelen és félvégtelen lánc Green függvénye

Kezdjük a Schrödinger egyenlettel:

$$(E\hat{I} - \hat{H})\underline{\Psi} = \underline{0} \quad (7)$$

Tegyük fel hogy a vizsgált rendszer egy egydimenziós lineáris lánc  $\epsilon_0$  on-site energiával és  $-\gamma$  hoppingal és  $a$  rácsállandóval. Kiírva (7)-t kapjuk hogy

$$\epsilon_0 \psi_p - \gamma \psi_{p+1} - \gamma \psi_{p-1} = E \psi_p. \quad (8)$$

Tegyük fell hogy a hullámfüggvény síkhullám alakban kereshető

$$\psi_p = e^{ikap}. \quad (9)$$

Itt  $\tilde{k}$  a hullámszám. Átskálázva a rendszer hosszát  $1/a$ -val új hullámszámot vezethetünk be  $k = \tilde{k}a$ . Behelyettesítve a fenti ansatz-ot (8)-be kapjuk a

$$E = \epsilon_0 - 2\gamma \cos(k) \quad (10)$$

diszperziós relációt, illetve a csoportsebességet

$$v = \frac{1}{\hbar} \frac{\partial E}{\partial k} = \frac{1}{\hbar} 2\gamma \sin(k). \quad (11)$$

A továbbiakban fontos szerepe lesz a (7) Schrödinger egyenlethez tartozó Green függvénynek. A Green függvény definíciója:

$$(E\hat{I} - \hat{H})\hat{G} = \hat{I}. \quad (12)$$

Tehát  $\hat{G}$  egy, operátor mint maga  $\hat{H}$ . Vegyük észre hogy a Green függvény egyes oszlopai (mátrix reprezentációban) egy (7)-hez hasonló Schrödinger egyenletet elégítenek ki egy forrás tag jelenlétében (Ez folytonos esetben egy Dirac delta potenciálnak felel meg).

Számítsuk ki a (8)-hez tartozó Green függvényt! A Green egyenlet erre a problémára az

$$(E - \epsilon_0)G_{p,q} + \gamma(G_{p+1,q} + G_{p-1,q}) = \delta_{pq} \quad (13)$$

alakot ölti. Amint ezt fentebb is említettük ez az egyenlet nem más mint egy Schrödinger egyenlet egy forrástag jelenlétében. Keressük (13) megoldását a forrásból kiinduló síkhullám alakjában. (Vegyük észre, ez nem a legáltalánosabb alak... kereshetnénk a megoldást a forrás felé propagáló síkhullám alakjában is. De erről majd később.) Legyen tehát

$$\begin{aligned} G_{p,q} &= A_- e^{-ik(p-q)} & p \leq q \\ G_{p,q} &= A_+ e^{+ik(p-q)} & p \geq q. \end{aligned} \quad (14)$$

Vegyük észre hogy ez az ansatz kielégíti a (13) Green egyenletet ha  $q \neq p$ . Az  $A_{\pm}$  együtthatókat a Green függvény  $q = p$ -beli folytonosságából és a Green egyenlet  $q = p$  helyen történő kielégítéséből határozzuk meg. Egyszerű behelyettesítéssel kapjuk a folytonossági kritériumból hogy

$$A_+ = A_- = A. \quad (15)$$

A (13) Green egyenlet a (14) ansatz-al pedig a következő alakot ölti:

$$(E - \epsilon_0)A + 2\gamma A e^{ik} = 1. \quad (16)$$

Behelyettesítve a (10) diszperziós relációt ez tovább alakítható

$$-2A\gamma \cos(k)A + 2\gamma A e^{ik} = A\gamma(e^{ik} - e^{-ik}) = Ai2\gamma \sin(k) = Ai\hbar v = 1. \quad (17)$$

Az utolsó lépésben (11) alapján helyettesítettük be a csoport sebességet. Ezzel a végtelen egy dimenziós lánc Green függvénye a

$$G_{p,q} = -\frac{i}{\hbar v} e^{ik|p-q|} \quad (18)$$

kompakt alakot ölti. Ez a probléma retardált Green függvénye, ha a pontforrástól kiinduló síkhullámok helyett a pontforrás felé haladó síkhullámokat tételezünk fel, akkor egy hasonló kifejezéshez jutunk

$$G_{p,q}^A = \frac{i}{\hbar v} e^{-ik|p-q|}, \quad (19)$$

ez a probléma avanszált Green függvénye. A továbbiakban csak a retardált Green függvényt fogjuk használni, s ezért elhagyjuk a retardált jelzőt.

Ezután szükségünk lesz egy félvégtelen lánc Green függvényére. Ezt a végtelen lánc Green függvényéből származtatjuk. Vegyük észre hogy ha a (18) Green függvényhez hozzá adunk egy hullámfüggvényt ami teljesíti a (8) Schrödinger egyenletet akkor a kapott objektum szintén teljesíteni fogja a Green egyenletet. Keressük tehát egy olyan lánc Green függvényét melyből az  $p \geq p_0$  rácspontok hiányoznak a következő alakban:

$$G_{p,q}^l = G_{p,q} + \phi_p^{p_0,q} \quad (20)$$

Mivel retardált Green függvényt keresünk a  $\phi_p^{p_0,q}$  hullámfüggvényt a

$$\phi_p^{p_0,q} = B e^{-ikp} \quad (21)$$

alakú. A  $B$  együtthatót a  $G_{p_0,q}^l = 0, q \leq p_0$  peremfeltétel kielégítésével tudjuk meghatározni, azaz

$$0 = G_{p_0,q}^l = -\frac{i}{\hbar v} e^{ik(p_0-q)} + B e^{-ikp_0}. \quad (22)$$

Tehát a keresett együttható

$$B = \frac{i}{\hbar v} e^{ik(2p_0-q)}, \quad (23)$$

és keresett hullámfüggvény pedig

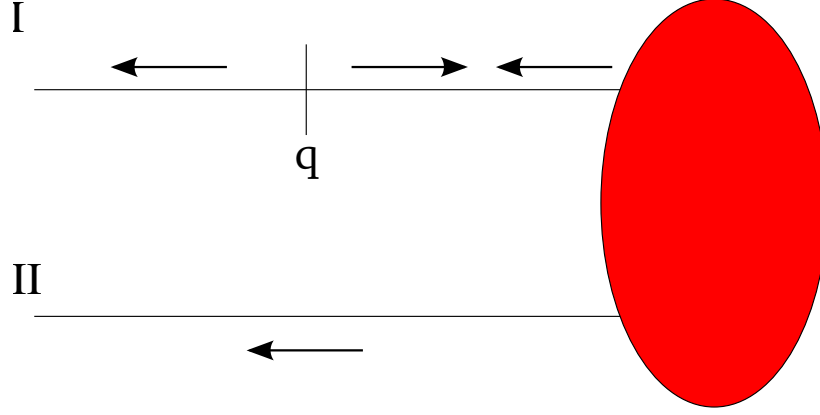
$$\phi_p^{p_0,q} = \frac{i}{\hbar v} e^{-ik(p-2p_0+q)}. \quad (24)$$

A Green függvény a lánc utolsó pontján a következő egyszerű alakra hozható a (11) csoportsebesség segítségével

$$G_{p_0-1,p_0-1}^l = -\frac{i}{\hbar v} + \frac{i}{\hbar v} e^{ik2} = \frac{e^{ik}(e^{ik} - e^{-ik})}{-2i\gamma \sin(k)} = \frac{e^{ik}}{-\gamma}. \quad (25)$$

Ennek az eredménynek, amint később látni fogjuk, fontos gyakorlati jelentősége van.

## 2. A szórásprobléma Green függvénye



1. ábra. Szórás probléma két vezetékkel ( $I$  és  $II$ ). A nyilak a  $q$  pontban történő gerjesztés hatására kiinduló hullámokat ábrázolják.

Ebben a fejezetben két egydimenziós vezeték ( $I$  és  $II$ ) közötti szórásprobléma Green függvényét fogjuk meghatározni szórási hullámfüggvények segítségével. A probléma geometriai elrendezését az 1. ábrán láthatjuk. Válaszuk mind a két vezetékben a koordináta rendszert úgy hogy  $-\infty$  be tartsanak és az első koordináta a 0 legyen. Legyen továbbá mind a két vezeték egydimenziós lánc  $\epsilon_\beta$  on-site energiával és  $-\gamma_\beta$  hoppingal. Mind a két vezetékben külön külön bevezethetünk a szórási tartomány felé illetve a szórási tartománytól távolodó állapotokat. Jelölje ezeket  $w_p^{\beta\pm}$ , ahol  $\beta \in \{I, II\}$ ,  $+$  a szórási tartomány felé haladó illetve  $-$  a szórási tartománytól távolodó állapotnak felel meg. Ezek ahogy azt fent látuk síkhullám alakúak melyeket leosztunk a hozzájuk tartozó csoportsebesség gyökével, hogy egységnyi részecske fluxust képviseljenek, azaz

$$w_p^{\beta\pm} = \frac{e^{\pm ikp}}{\sqrt{\hbar v_k^\beta}}. \quad (26)$$

Ezekből felépíthetjük a rendszerben jelen lévő szórási hullámfüggvények komponenseit a vezetékekben az alábbi módon:

$$\phi_p^\beta|_{p \in \alpha} = \delta_{\alpha,\beta} w_p^{\alpha+} + S_{\alpha,\beta} w_p^{\alpha-}. \quad (27)$$

Itt bevezettük az  $S_{\alpha,\beta}$  szórás mátrixot. Mivel a  $w_p^{\beta\pm}$  hullámfüggvények fluxus normáltak ezért a szórási mátrix unitér. A szórási mátrix diagonális elemei a reflexiók  $r_{\beta,\beta} = S_{\beta,\beta}$ , az off-diagonális elemei pedig a transzmissziók  $t_{\alpha,\beta} = S_{\alpha,\beta}$  szórási amplitúdók.

Keressük a szórásprobléma Green függvényét a következő alakban:

$$\begin{aligned} G_{p,q} &= A_s \phi_p^{II} \phi_q^I & p \leq q & , q \in I, \\ G_{p,q} &= A_s \phi_p^I \phi_q^{II} & p \geq q, \text{ vagy } p \in II & , q \in I, \end{aligned} \quad (28)$$

illetve

$$\begin{aligned} G_{p,q} &= B_s \phi_p^I \phi_q^{II} & p \leq q & , q \in II, \\ G_{p,q} &= B_s \phi_p^{II} \phi_q^I & p \geq q, \text{ vagy } p \in I & , q \in II. \end{aligned} \quad (29)$$

Az  $A_s$  és  $B_s$  együtthatókat a (12) Green egyenlet  $p = q$  beli kielégítéséből tudjuk meghatározni. Határozzuk meg először  $A_s$ -t ! A kielégítendő Green egyenlet a következő alakot ölti:

$$(E - \epsilon_I) A_s \phi_p^{II} \phi_p^I + \gamma_I A_s (\phi_{p-1}^{II} \phi_p^I + \phi_{p+1}^I \phi_p^{II}) = 1. \quad (30)$$

Kihasználva hogy a  $\phi_p^\beta$  szórási hullámfüggvények a Schrödinger egyenlet megoldásai a vezetékekben kapjuk, hogy

$$(A_s \phi_p^{II}) [(E - \epsilon_I) \phi_p^I + \gamma_I (\phi_{p-1}^I + \phi_{p+1}^I)] = 0. \quad (31)$$

Kivonva (30)-ból (31)-t :

$$\begin{aligned} \gamma_I A_s (\phi_{p-1}^{II} \phi_p^I - \phi_{p-1}^I \phi_p^{II}) &= 1 \\ \gamma_I A_s t_{1,2} [(w_{p-1}^{I-})(w_p^{I+} + r_{1,1} w_p^{I-}) - (w_{p-1}^{I+} + r_{1,1} w_{p-1}^{I-})(w_p^{I-})] &= 1 \\ \gamma_I A_s t_{1,2} [(w_{p-1}^{I-})(w_p^{I+}) - (w_{p-1}^{I+})(w_p^{I-})] &= 1 \end{aligned} \quad (32)$$

A  $w_p^{\beta\pm}$  hullámfüggvények (26) definíciói segítségével ez tovább alakítható:

$$\frac{A_s t_{1,2} \gamma_I}{\hbar v_k^I} [e^{ik} - e^{-ik}] = i \frac{A_s t_{1,2} 2\gamma_I \sin(k)}{\hbar v_k^I} = i A_s t_{1,2} = 1, \quad (33)$$

azaz

$$A_s = -\frac{i}{t_{1,2}}. \quad (34)$$

Hasonló módon kapjuk a másik vezetékben kielégítve a Green egyenletet hogy

$$B_s = -\frac{i}{t_{2,1}}. \quad (35)$$

Vezessük be a  $\beta_p$  jelölést a  $\beta$ -val jelölt vezetékek koordinátáinak indexelésére! Írjuk fel a Green függvényt a vezetékek felületén!

$$G_{I_0, I_0} = \frac{i}{t_{1,2}} \phi_{I_0}^I \phi_{I_0}^{II} = -\frac{i}{t_{1,2}} \frac{(1 + r_{1,1})}{\sqrt{\hbar v_k^I}} \frac{t_{1,2}}{\sqrt{\hbar v_k^I}}. \quad (36)$$

Ebből a reflexiós amplitudót kifejezve kapjuk

$$r_{1,1} = i \hbar v_k^I G_{I_0, I_0} - 1. \quad (37)$$

Hasonlóan

$$G_{II_0, I_0} = -\frac{i}{t_{1,2}} \phi_{II_0}^I \phi_{I_0}^{II} = -\frac{i}{t_{1,2}} \frac{t_{2,1}}{\sqrt{\hbar v_k^{II}}} \frac{t_{1,2}}{\sqrt{\hbar v_k^I}}, \quad (38)$$

tehát

$$t_{2,1} = i \sqrt{\hbar v_k^{II}} \sqrt{\hbar v_k^I} G_{II_0, I_0}. \quad (39)$$

Hasonlóképpen kapjuk a fennmaradó két szórási amplitúdót:

$$r_{2,2} = i \hbar v_k^{II} G_{II_0, II_0} - 1, \text{ illetve } t_{1,2} = i \sqrt{\hbar v_k^{II}} \sqrt{\hbar v_k^I} G_{I_0, II_0}. \quad (40)$$

A (37), (39) és (40) egyenletek tömörebb alakban írva kapjuk a

$$S_{\alpha, \beta} = i \sqrt{\hbar v_k^\alpha} \sqrt{\hbar v_k^\beta} G_{\alpha_0, \beta_0} - \delta_{\alpha, \beta} \quad (41)$$

Fisher-Lee relációt ami egy szórás probléma felületi Green függvényét köti össze a megfelelő szórási amplitúdókkal. (HF: Ellenőrizzük hogy  $S$  valóban unitér!)

### 3. Felületi Green függvények és a Dyson-egyenlet

Ebben a fejezetben megvizsgáljuk a szórásprobléma felületi Green függvénye illetve a szétcsatolt rendszer vezetékének felületi Green függvénye közötti kapcsolatát. Induljunk ki a teljes szórásprobléma Green egyenletéből illetve a szétkapcsolt szórásprobléma Green egyenletéből:

$$(E\hat{I} - \hat{H}_0 - \hat{H}_1)\hat{G} = \hat{I}, \quad (42)$$

$$(E\hat{I} - \hat{H}_0)\hat{G}_0 = \hat{I}. \quad (43)$$

Beszúrva a  $\hat{G}_0 \hat{G}_0^{-1} = \hat{I}$  egységoperátort (42)-be és kihasználva (43)-t kapjuk hogy

$$((E\hat{I} - \hat{H}_0)\hat{G}_0 \hat{G}_0^{-1} - \hat{H}_1)\hat{G} = \hat{I}, \quad (44)$$

$$(\hat{G}_0^{-1} - \hat{H}_1)\hat{G} = \hat{I}. \quad (45)$$

Ezt balról szorozva  $\hat{G}_0$ -al:

$$(\hat{I} - \hat{G}_0 \hat{H}_1)\hat{G} = \hat{G}_0. \quad (46)$$

Amiből következik a Dyson egyenlet:

$$\hat{G} = (\hat{I} - \hat{G}_0 \hat{H}_1)^{-1} \hat{G}_0 = (\hat{G}_0^{-1} - \hat{H}_1)^{-1} \quad (47)$$

Kihasználva  $\hat{H}_1$  szórás problémabeli struktúráját (csak a szórási tartomány felülete és a vezetékek felülete között nem zérus) belátható hogy a teljes Green függvény  $\hat{G}$  felületi részére  $\hat{g}$ -re is teljesül a Dyson-egyenlet, azaz

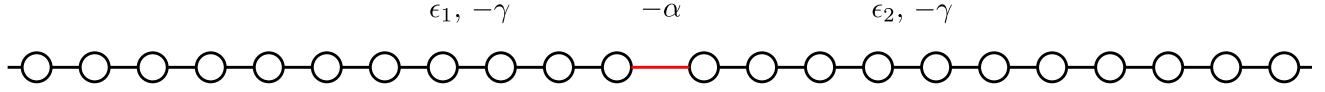
$$\hat{g} = (\hat{g}_0^{-1} - \hat{h}_1)^{-1}, \quad (48)$$

ahol  $\hat{g}_0$  a szétkapcsolt rendszer felületi Green függvénye illetve  $\hat{h}_1$  a  $\hat{H}_1$  operátor nemzérus része.

## 4. Néhány egyszerű példa

A fentiekben beláttuk hogy a  $\hat{g}_0$  felületi Green-függvény és  $\hat{h}_1$  ismeretében a szórás mátrix meghatározása gyakorlatilag két véges mátrix invertálására redukálódik. Ebben a fejezetben gyakorlás képp megvizsgálunk néhány egyszerű feladatot.

### 4.1. Potenciál lépcső és szakadás



2. ábra. Potenciál lépcső egy láncon

Vizsgáljuk meg a 2. ábrán felvázolt szórásproblémát! Legyen tehát két vezeték melyeket rendre  $\epsilon_1$  és  $\epsilon_2$  on-site potenciál jellemez, illetve mind a kettőben legyen a hopping  $-\gamma$ . Kösse őket össze egy  $-\alpha$  hopping. Ekkor a diszperziós reláció a két vezetékben az

$$E = \epsilon_1 - 2\gamma \cos(k_1) = \epsilon_2 - 2\gamma \cos(k_2) \quad (49)$$

alakot ölti. A Green-függvény pedig (48) alapján

$$g = \begin{pmatrix} -\gamma e^{-ik_1} & \alpha \\ \alpha & -\gamma e^{-ik_2} \end{pmatrix}^{-1} = \frac{1}{\alpha^2 - \gamma^2 e^{-i(k_1+k_2)}} \begin{pmatrix} \gamma e^{-ik_2} & \alpha \\ \alpha & \gamma e^{-ik_1} \end{pmatrix}. \quad (50)$$

A (41) Fisher-Lee relációkból pedig a transzmissziós illetve a reflexiós amplitúdókra kapjuk hogy

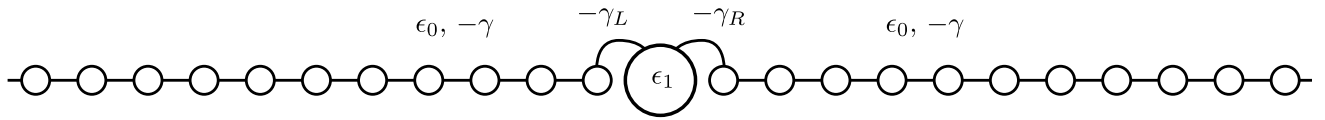
$$r_{1,1} = i2\gamma \sin(k_1) \frac{\gamma e^{-ik_2}}{\alpha^2 - \gamma^2 e^{-i(k_1+k_2)}} - 1, \quad (51)$$

illetve

$$t_{2,1} = i2\gamma \sqrt{\sin(k_1) \sin(k_2)} \frac{\alpha}{\alpha^2 - \gamma^2 e^{-i(k_1+k_2)}}. \quad (52)$$

Ahogy azt már a Fisher-Lee relációkból is lehet sejteni a transzmisszió zérus illetve a reflexió egy ha bármely vezetékben a sáv szélén vagyunk, azaz  $E = \epsilon_{1,2} \pm 2\gamma$ . Továbbá az is tisztán látszik hogy a transzmisszió mindig zérus ha a két vezeték szét van csatolva azaz  $\alpha = 0$ . (HF: Lássuk be hogy  $|t_{2,1}|^2 + |r_{1,1}|^2 = 1$ , illetve hogy  $|r_{1,1}|^2 = 1$  ha valamelyik  $k$  képzetes. Magyarázzuk az eredményeket!)

### 4.2. Breit-Wigner rezonancia



3. ábra. Rezonáns állapoton történő szórás.

Vizsgáljuk meg a 3. ábrán felvázolt szórásproblémát! Azaz legyen két vezeték egy  $\epsilon_1$  on-site energiájú rezonáns állapothoz csatolva  $\gamma_L$  illetve  $\gamma_R$  hoppingal. Vegyünk továbbá  $\gamma = 1$  illetve  $\epsilon_0 = 0$  értékekkel jellemezett vezetékeket. A diszperziós reláció most mind a két vezetékben ugyan az:

$$E = -2 \cos(k). \quad (53)$$

A Green-függvény a vezetékek felületén illetve a rezonancia helyén a

$$g = \begin{pmatrix} -e^{-ik} & 0 & \gamma_L \\ 0 & -e^{-ik} & \gamma_R \\ \gamma_L & \gamma_R & E - \epsilon_1 \end{pmatrix}^{-1} \quad (54)$$

alakot ölti. Vizsgáljuk a rendszer transzmissziós együtthatóját! A megfelelő transzmissziós amplitúdó

$$t_{2,1} = i2 \sin(k) g_{2,1} = \frac{2ie^{2ik} \gamma_L \gamma_R \sin(k)}{e^{ik} (\gamma_L^2 + \gamma_R^2) + (E - \epsilon_1)} = \frac{2ie^{2ik} \gamma_L \gamma_R \sin(k)}{i \sin(k) (\gamma_L^2 + \gamma_R^2) + (E - \epsilon_1)}. \quad (55)$$

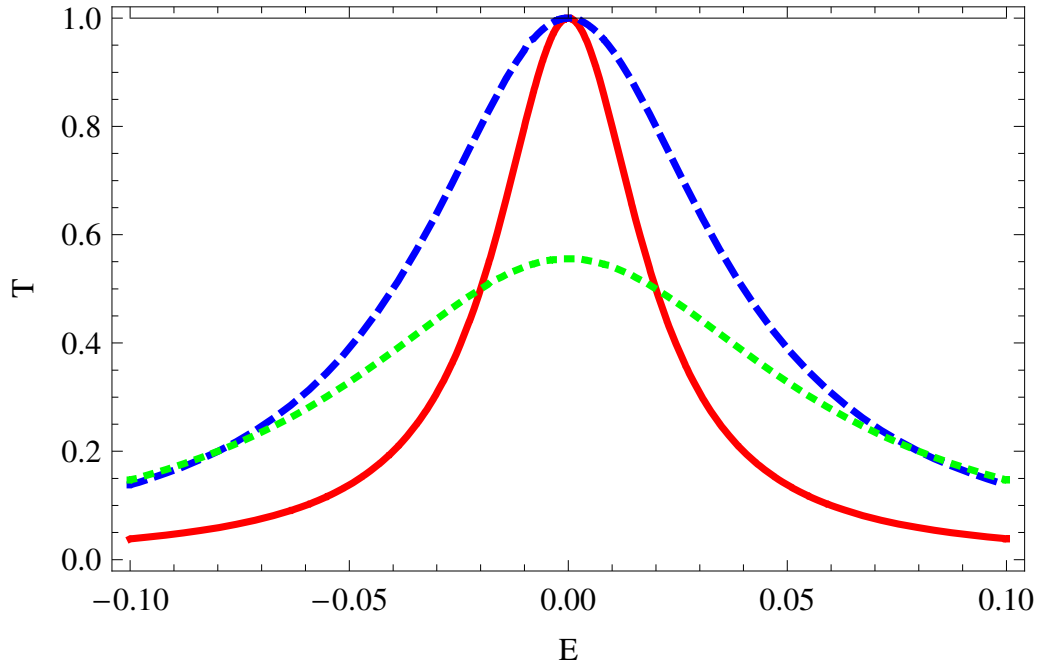


Figure 4: Breit-Wigner rezonancia  $\Gamma_L = \Gamma_R = 0.01$  (piros vonal),  $\Gamma_L = \Gamma_R = 0.02$  (kék szaggatott vonal) és  $\Gamma_L = 0.05$ ,  $\Gamma_R = 0.01$  (zöld pöttyözött vonal) esetén. Mind a három esetben  $\tilde{\epsilon}_1 = 0$ .

Ahol bevezettük a renormalizált rezonáns energiát:

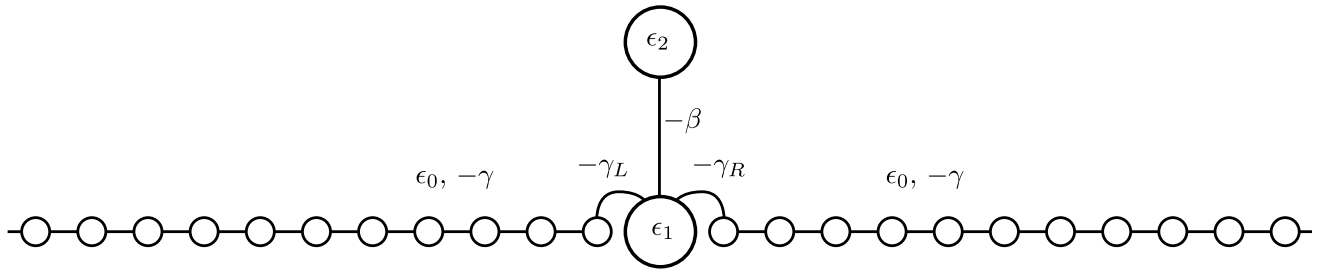
$$\tilde{\epsilon}_1 = \epsilon_1 - \cos(k) (\gamma_L^2 + \gamma_R^2). \quad (56)$$

A transzmissziós valószínűség tehát a jól ismert Breit-Wigner alakra hozható:

$$T = tt^* = \frac{4\Gamma_L\Gamma_R}{(E - \tilde{\epsilon}_1)^2 + (\Gamma_L + \Gamma_R)^2}. \quad (57)$$

A  $\Gamma_{L,R}$  együtthatók pedig  $\Gamma_{L,R} = \gamma_{L,R}^2 \sin(k) = \gamma_{L,R}^2 \sqrt{1 - E^2/4}$ . Látjuk tehát hogy az eredeti  $\epsilon_1$  rezonancia a vezetékek hatására kiszélesedik illetve eltolódik. Néhány paraméter értékre a 4. ábra tartalmazza a megfelelő transzmissziós együtthatókat.

### 4.3. Fano rezonancia és a decimálás



5. ábra. Szórás egy rezonáns állapoton egy „oldalsoporttal”.

Ebben az utolsó példában vizsgáljuk meg az 5. ábrán vázolt szórás problémát. A transzmissziós együtthatót meghatározhatnánk a már ismert úton, felírva a felületi Green-függvényekre vonatkozó Dyson-egyenletet és invertálva a megfelelő  $4 \times 4$ -es mátrixot. Ez az út egyre bonyolultabb és egyre nagyobb mátrixok invertálásához vezet. Érdemes tehát valahogyan redukálni az invertálandó mátrix méretét. Induljunk ki ismét egy általános Schrödinger egyenletből:

$$\sum_j H_{ij} \psi_j = E \psi_i. \quad (58)$$

Ezt  $i = l$ - esetére kírva ki tudjuk fejezni a  $l$ -edik pontban a hullámfüggvény értékét:

$$\sum_{j \neq l} H_{lj} \psi_j + H_{ll} \psi_l = E \psi_l, \rightarrow \psi_l = \sum_{j \neq l} \frac{H_{lj}}{E - H_{ll}} \psi_j. \quad (59)$$

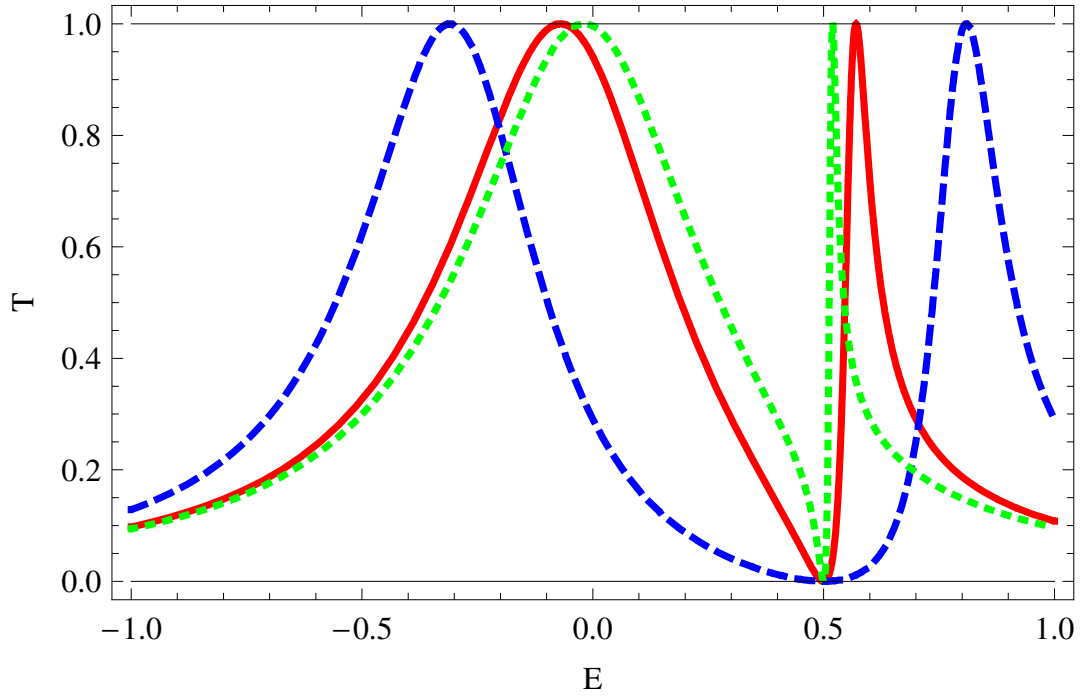


Figure 6: Példa Fano rezonanciára. Mind a három esetben  $\Gamma_L = \Gamma_R = 0.4, \epsilon_1 = 0.0$  és  $\epsilon_2 = 0.5$ , továbbá  $\beta = 0.1$  (zöld pöttyözött vonal),  $\beta = 0.2$  (piros vonal) és  $\beta = 0.5$  (kék szaggatott). Mind a három görbe két maximummal rendelkezik és nulla  $E = 0.5$ -ra.

Tegyük fel hogy a továbbiakban olyan problémával foglalkozunk amelyben az  $l$ -edik pont csak közvetett szerepet kap. (Például ha a 5. ábrán vizsgált rendszerben a két vezeték közti transzmisszió a kérdés az  $\epsilon_2$ -es pont ilyen). Ilyen esetekben érdemes ezeket a pontokat kiredukálni a Schrödinger egyenletből. Ezt a redukációt, vagy más néven decimálást (59) segítségével könnyen megtehetjük. Ha  $i \neq l$  a Schrödinger egyenlet a következő alakot ölti

$$\sum_{j \neq l} H_{ij} \psi_j + H_{il} \psi_l = \sum_{j \neq l} H_{ij} \psi_j + H_{il} \sum_{j \neq l} \frac{H_{lj}}{E - H_{ll}} \psi_j = \sum_{j \neq l} H'_{ij} \psi_j = E \psi_i, \quad (60)$$

ahol bevezettük az effektív, vagy decimált Hamilton operátort mint

$$H'_{ij} = H_{ij} + \frac{H_{il} H_{lj}}{E - H_{ll}}. \quad (61)$$

A decimált Hamilton operátor egy kisebb Hilbert-téren hat viszont a spektruma megegyezik az eredeti Hamiltoni spektrumával. Ez nem más mint egy elegánsan burkolt Gauss-elimináció.

Alkalmazva a decimálás technikáját könnyen beláthatjuk hogy a jelen vizsgált szórás probléma transzmissziós együtthatója a (57) Breit-Wigner formulából származtatva a

$$T = tt^* = \frac{4\Gamma_L \Gamma_R}{(E - \tilde{\epsilon}_1 - \frac{\beta^2}{E - \epsilon_2})^2 + (\Gamma_L + \Gamma_R)^2} \quad (62)$$

alakot ölti. Vegyük észre hogy ez  $E = \epsilon_2$ -re mindig azonosan nulla. Továbbá az is látszik hogy két maximum lesz a

$$E = \frac{1}{2} \left( \tilde{\epsilon}_1 + \epsilon_2 \pm \sqrt{(\tilde{\epsilon}_1 - \epsilon_2)^2 + 4\beta^2} \right) \quad (63)$$

helyeken. Ez a transzmissziós együttható a Fano jelalakra redukálódik ha a két rezonancia távol kerül egymástól és  $\epsilon_2$ -vel tartunk az egyik felé. Végezetül néhány paraméterre a 6. ábrán a (62)-nek megfelelő néhány jelalakot láthatunk.

# Általánosított vezetékek

## 5 Végtelen vezetékek Hamilton-operátora és állapotai

Az előző fejezetben szigorúan egy dimenziós vezetékeket tárgyaltunk. Ebben a fejezetben kibővítjük a fenti formalizmust általánosított vezetékekre. Vizsgáljuk meg először a végtelen vezeték esetét. A Hamilton-operátor egy általános végtelen vezetékre a

$$\hat{H} = \begin{pmatrix} \ddots & \ddots & 0 & 0 & 0 \\ \ddots & H_0 & H_1 & 0 & 0 \\ 0 & H_1^\dagger & H_0 & H_1 & 0 \\ 0 & 0 & H_1^\dagger & H_0 & \ddots \\ 0 & 0 & 0 & \ddots & \ddots \end{pmatrix} \quad (64)$$

alakot ölti. Itt  $H_0$  illetve  $H_1$  általában egy  $N \times N$  dimenziójú mátrix. Keressük ennek a Hamilton-operátornak a sajátértékeit egy síkhullám és egy  $N$  dimenziós vektor szorzataként!

$$\underline{\Psi} = e^{ikz} |\phi\rangle. \quad (65)$$

Ehhez a hullámfüggvényhez tartozó energia sajátértéket a

$$\det(H_0 - E \cdot I + e^{ik} H_1 + e^{-ik} H_1^\dagger) = 0 \quad (66)$$

szekuláris egyenlet megoldásaként, a  $|\phi\rangle$  vektorokat pedig a

$$(H_0 + e^{ik} H_1 + e^{-ik} H_1^\dagger) |\phi\rangle = E |\phi\rangle \quad (67)$$

hullámszámfüggő Schrödinger egyenlet kielégítésével kapjuk.

Tehát minden  $k$  hullámszámmra rendelkezésünkre fog állni  $N$  darab energia érték  $E^n(k)$  illetve  $N$  darab sajátfüggvény  $|\phi^n(k)\rangle$ . Általában egy szórásproblémánál egy fordított feladattal állunk szembe. A részecskék energiája ismert és az adott energiához tartozó hullámszám az ismeretlen mennyiség. Egy lehetséges, ámbar kevésbé praktikus megoldás a fenn említett problémára egy kereső algoritmus alkalmazása az  $E^n(k)$  értékekre.

Ennél sokkal célszerűbb ha közvetlenül a hullámszámokra írunk fel egy sajátérték problémát. Legyen  $e^{-ik} |\phi\rangle = |\theta\rangle$ , ezzel a (66) Schrödinger egyenlet a

$$\begin{pmatrix} (H_0 - E \cdot I) |\phi\rangle & + H_1^\dagger |\theta\rangle \\ |\phi\rangle & 0 |\theta\rangle \end{pmatrix} = \begin{pmatrix} -e^{ik} H_1 |\phi\rangle \\ e^{ik} |\theta\rangle \end{pmatrix}, \quad (68)$$

alakot ölti. Az első sort beszorozva  $-H_1^{-1}$ -el kapjuk, hogy

$$\begin{pmatrix} -H_1^{-1}(H_0 - E \cdot I) & -H_1^{-1} H_1^\dagger \\ I & 0 \end{pmatrix} \begin{pmatrix} |\phi\rangle \\ |\theta\rangle \end{pmatrix} = e^{ik} \begin{pmatrix} |\phi\rangle \\ |\theta\rangle \end{pmatrix}. \quad (69)$$

Ez egy sajátérték probléma melynek megoldásai közvetlenül megadják a keresett hullámszámot és a keresett hullámfüggvényeket az energia függvényében. A későbbiekben szükségünk lesz a megfelelő állapotok csoport sebességére is amely a hullámszám és az állapot függvények ismeretében egyszerűen kifejezhető:

$$\begin{aligned} \hbar v^k &= \partial_k E = \partial_k \langle \phi | H_0 + e^{ik} H_1 + e^{-ik} H_1^\dagger | \phi \rangle = \\ &= \langle \partial_k \phi | \dots | \phi \rangle + \langle \phi | \dots | \partial_k \phi \rangle + i \langle \phi | e^{ik} H_1 - e^{-ik} H_1^\dagger | \phi \rangle = \\ &= i \langle \phi | e^{ik} H_1 - e^{-ik} H_1^\dagger | \phi \rangle. \end{aligned}$$

Vegyük észre hogy a (69) egyenletnek  $2N$  megoldása van. Ezeket célszerű két kategória szerint rendezni. Először is vannak propagáló azaz  $\text{Im}(k) = 0$  állapotok illetve lecsngő tehát  $\text{Im}(k) \neq 0$  állapotok. Továbbá mind a két kategóriában vannak jobbos illetve balos állapotok annak megfelelően hogy csoportsebességük szerint melyik irányba propagálnak illetve hullámszámuk szerint hogyan csengenek le. Ezt a felosztást az alábbi táblázatban foglaljuk össze.

|          | bal ( $n = 1 \dots N$ )              | jobb ( $n = 1 \dots N$ )             |
|----------|--------------------------------------|--------------------------------------|
| propagál | $v^{kn} < 0$ és $\text{Im}(k) = 0$   | $v^{kn} > 0$ és $\text{Im}(k) = 0$   |
| lecseng  | $\text{Im}(k) < 0$                   | $\text{Im}(k) > 0$                   |
| új index | $k_n^B(E), v_n^B(E),  B_n(E)\rangle$ | $k_n^J(E), v_n^J(E),  J_n(E)\rangle$ |



Itt bevezettük a  $k_n^\mu, v_n^\mu, |\mu_n\rangle$  jelölést ami  $\mu = J$  esetén a jobbos állapotok illetve  $\mu = B$  esetén a balos állapotok megfelelő tulajdonságait indexeli. Jegyezzük meg hogy adott energián a  $|\mu_n\rangle$  általában nem ortogonálisak egymásra. (Szemben az azonos hullámszámhoz tartozó állapotvektorokkal melyek mindig ortogonális rendszert alkotnak.) A  $|\mu_n\rangle$ -ek ra ortogonális, úgynevezett duális vektorok halmazát az

$$\langle \tilde{\mu}_n | \mu_m \rangle = \delta_{n,m} \quad (70)$$

összefüggés definiálja. Vegyük észre hogy gyakorlatban ez egy mátrix invertálással egyenértékű.

## 6 Green-függvények

A  $k_n^\mu, v_n^\mu, |\mu_n\rangle$  mennyiségek segítségével, az egydimenziós esethez hasonlóan elkezdhetjük a végtelen vezeték Green-függvényének kiszámítását. Keressük ezt a következő alakban:

$$G_{z,z'} = \sum_{p=1}^N e^{ik_p^B(z-z')} |B_p\rangle \langle w_p^B| \quad z \leq z', \quad (71)$$

$$G_{z,z'} = \sum_{p=1}^N e^{ik_p^J(z-z')} |J_p\rangle \langle w_p^J| \quad z \geq z'. \quad (72)$$

A Green-függvény  $z = z'$  kontinuitásából következik, hogy

$$\sum_{p=1}^N |B_p\rangle \langle w_p^B| = \sum_{p=1}^N |J_p\rangle \langle w_p^J| = \sum_{p=1}^N |\mu_p\rangle \langle w_p^\mu|. \quad (73)$$

A (66) Schrödinger-egyenlethez tartozó Green-egyenlet az

$$(E \cdot I - H_0)G_{z,z} - H_1 G_{z+1,z} - H_1^\dagger G_{z-1,z} = I \quad (74)$$

alakot ölti. Behelyettesítve a (72) ansatz-ot kapjuk, hogy

$$\sum_{n=1}^N \left[ (E \cdot I - H_0) |J_n\rangle \langle w_n^J| - H_1 |J_n\rangle e^{ik_n^J} \langle w_n^J| - H_1^\dagger |B_n\rangle e^{-ik_n^B} \langle w_n^B| \right] = I. \quad (75)$$

Felhasználva hogy a  $|\mu_n\rangle$  állapotok kielégítik a Schrödinger egyenletet, azaz

$$\sum_{n=1}^N \left[ (E \cdot I - H_0) |\mu_n\rangle \langle w_n^\mu| - H_1 |\mu_n\rangle e^{ik_n^\mu} \langle w_n^\mu| - H_1^\dagger |\mu_n\rangle e^{-ik_n^\mu} \langle w_n^\mu| \right] = 0, \quad (76)$$

a Green-egyenlet a

$$\sum_{n=1}^N H_1^\dagger \left[ |J_n\rangle e^{-ik_n^J} \langle w_n^J| - |B_n\rangle e^{-ik_n^B} \langle w_n^B| \right] = I \quad (77)$$

alakra egyszerűsödik. A duális vektorok definíciójából egyenesen következik, hogy

$$\sum_{p=1}^N \langle \tilde{\mu}_n | \mu_p \rangle \langle w_p^\mu| = \langle w_n^\mu|. \quad (78)$$

Ezt behelyettesítve (77)-be:

$$\sum_{n=1}^N H_1^\dagger \left[ |J_n\rangle e^{-ik_n^J} \left( \langle \tilde{J}_n | \sum_{p=1}^N |J_p\rangle \langle w_p^J| \right) - |B_n\rangle e^{-ik_{B_n}} \left( \langle \tilde{B}_n | \sum_{p=1}^N |B_p\rangle \langle w_p^B| \right) \right] = I, \quad (79)$$

most kihasználva (73) azt kapjuk hogy

$$\sum_{n=1}^N H_1^\dagger \left[ |J_n\rangle e^{-ik_n^J} \langle \tilde{J}_n| - |B_n\rangle e^{-ik_{B_n}} \langle \tilde{B}_n| \right] \sum_{p=1}^N |\mu_p\rangle \langle w_p^\mu| = I. \quad (80)$$

Tehát

$$\sum_{p=1}^N |\mu_p\rangle \langle w_p^\mu| = \left( \sum_{n=1}^N H_1^\dagger \left[ |J_n\rangle e^{-ik_n^J} \langle \tilde{J}_n| - |B_n\rangle e^{-ik_{B_n}} \langle \tilde{B}_n| \right] \right)^{-1} = \mathcal{V}^{-1}, \quad (81)$$

azaz a keresett együttható vektorok az egyszerű

$$\langle w_p^\mu| = \langle \tilde{\mu}_p| \mathcal{V}^{-1} \quad (82)$$

alakot öltik, amivel a végtelen vezeték Green-függvénye

$$\begin{aligned} G_{z,z'} &= \sum_{p=1}^N |B_p\rangle e^{ik_p^B(z-z')} \langle \tilde{B}_p | \mathcal{V}^{-1} \quad z \leq z' \\ G_{z,z'} &= \sum_{p=1}^N |J_p\rangle e^{ik_p^J(z-z')} \langle \tilde{J}_p | \mathcal{V}^{-1} \quad z \geq z'. \end{aligned} \quad (83)$$

Amint azt láttuk az egydimenziós szórásproblémánál is, szükségünk lesz a félvégtelen vezeték felületi Green-függvényére. Tegyük fel hogy a vezeték  $z \geq z_0$  darabjai hiányoznak, azaz keressük azt a Green-függvényt melyre

$$G_{z_0,z'}^B = 0, \quad z_0 \geq z' \quad (84)$$

teljesül. Keressük a megoldást a

$$G_{z,z'}^B = G_{z,z'} - \sum_{p=1}^N |B_p\rangle e^{ik_p^B z} \langle \Delta_p^B(z', z_0) | \quad (85)$$

alakban. Tehát

$$G_{z_0,z'} = \sum_{p=1}^N |B_p\rangle e^{ik_p^B z_0} \langle \Delta_p^B |. \quad (86)$$

a (83) Green-függvény alakját és a duális vektorok definícióját felhasználva ez tovább alakítható:

$$\sum_{p=1}^N |J_p\rangle e^{ik_p^J(z_0-z')} \langle \tilde{J}_p | \mathcal{V}^{-1} = \sum_{p=1}^N |B_p\rangle e^{ik_p^B z_0} \langle \Delta_p^B |, \quad (87)$$

$$\langle \tilde{B}_q | e^{-ik_q^B z_0} \sum_{p=1}^N |J_p\rangle e^{ik_p^J(z_0-z')} \langle \tilde{J}_p | \mathcal{V}^{-1} = \langle \Delta_q^B |, \quad (88)$$

$$G_{z,z'}^B = G_{z,z'} - \sum_{p,q=1}^N |B_q\rangle e^{ik_q^B(z-z_0)} \langle \tilde{B}_q | J_p \rangle e^{ik_p^J(z_0-z')} \langle \tilde{J}_p | \mathcal{V}^{-1}. \quad (89)$$

A  $z = z' = z_0 - 1$  felületen tehát a Green-függvény a

$$G_{z_0-1,z_0-1}^B = \left[ I - \sum_{p,q=1}^N |B_q\rangle e^{-ik_q^B} \langle \tilde{B}_q | J_p \rangle e^{ik_p^J} \langle \tilde{J}_p | \right] \mathcal{V}^{-1} \quad (90)$$

alakot ölti. Hasonlóan ha a  $z \leq z_0$  darabok hiányoznak a vezetékből, azaz

$$G_{z_0,z'}^J = 0, \quad z_0 \leq z', \quad (91)$$

akkor a

$$G_{z,z'}^J = G_{z,z'} - \sum_{p=1}^N |J_p\rangle e^{ik_p^J z} \langle \Delta_p^J(z', z_0) | \quad (92)$$

ansatzból kapjuk hogy a felületi Green-függvény a

$$G_{z_0-1,z_0-1}^J = \left[ I - \sum_{p,q=1}^N |J_q\rangle e^{ik_q^J} \langle \tilde{J}_q | B_p \rangle e^{-ik_p^J} \langle \tilde{B}_p | \right] \mathcal{V}^{-1} \quad (93)$$

alakra hozható.

## 7 A Fisher-Lee relációk általánosított vezetékek jelenlétében

Amint az egydimenziós esetről már láttuk, a vezetékek és a szórásitartomány Green-függvényének ismeretében a Dyson egyenlet segítségével meghatározható a szórás probléma Green-függvénye. Ezen Green-függvény ismeretében a Fisher-Lee relációk segítségével kaptuk meg a szórásprobléma  $S$  szórási mátrixát. A fent bevezetett  $v_n^\mu, |\mu_n\rangle, \langle \tilde{\mu}_p |, \mathcal{V}$  mennyiségek és a teljes  $G$  Green-függvény ismeretében az  $S$  mátrix az alábbi alakot ölti:

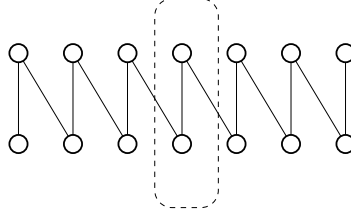
$$S_{\alpha_p, \beta_q} = \langle \tilde{\alpha}_p^- | G_{\alpha|0, \beta|0} \mathcal{V}_\beta - \delta_{\alpha, \beta} | \beta_q^+ \rangle \sqrt{\frac{v_p^{\alpha-}}{v_q^{\beta+}}}. \quad (94)$$

Itt a görög indexek a megfelelő vezetékeket jelölik,  $+$  jel a szórási tartomány felé haladó,  $-$  pedig a szórási tartományból érkező állapotokat indexeli. A  $G_{\alpha|0, \beta|0}$  mennyiségek pedig a teljes Green-függvény megfelelő felületi elemeit jelölik.  $S_{\alpha_p, \beta_q}$  tehát a  $\beta$ -adik vezeték  $q$ -adik csatornájából érkező részecske  $\alpha$ -adik vezeték  $p$ -edik csatornájába történő szórásához tartozó valószínűségi amplitúdó.

## 8 Gyakran felmerülő problémák és orvoslásuk

Ebben a részben a fenn tárgyalt formalizmus két alapvető problémáját fogjuk tárgyalni. Az első probléma a  $H_1$  mátrixok invertálásával kapcsolatos, a második probléma az áram operátor és a spektrum degenerált részén felvett alakjából adódik.

### 8.1 A $H_1$ probléma



7. ábra. A  $H_1$  probléma illusztrációja. Jelölje a szaggatott vonallal bekerített rész a vezeték elemi celláját. Legyen az on-site energia mindenhol  $\epsilon_0$  a hopping pedig  $-\gamma$ . Könnyen belátható hogy erre az esetre a  $H_1$  mátrix szingulárisnak adódik. Vegyük észre hogy ha a rendszert „széthúzzuk” a már jól ismert egydimenziós lánc problémájára jutunk.

Vegyük észre hogy a (69) sajátérték probléma megoldásához szükségünk van a  $H_1$  mátrix inverzére. Általában ez a mátrix nem feltétlenül invertálható. Példának okáért vizsgáljuk meg a 7. ábrán vázolt szituációt. Ekkor a  $H_1$  mátrix a

$$H_1 = \begin{pmatrix} 0 & 0 \\ -\gamma & 0 \end{pmatrix} \quad (95)$$

alakot ölti. Ez a mátrix jól láthatóan szinguláris, nem létezik inverze. Egyszerűen belátható ha a felső sort kidecimáljuk akkor a probléma az egydimenziós vezeték alakjára hozható ahol az on-site energia illetve a hopping a

$$\epsilon'_0 = \epsilon_0 + 2\frac{\gamma^2}{E - \epsilon_0}, \quad \gamma' = \frac{\gamma^2}{E - \epsilon_0} \quad (96)$$

alakot öltik. Általában is igaz az az állítás hogy  $H_1$  invertálhatatlanságából fakadó problémát egy jól kitalált decimálással lehet orvosolni. Első ránézésre azonban nem mindig triviális kitalálni a megfelelő decimálási stratégiát. Amint azt a 7. ábra is illusztrálja a  $H_1$  probléma akkor merül fel ha a vezeték valójában kevesebb módust tartalmaz mint ahogy azt első ránézésre vélnénk.

Egy általános decimálási procedúra kidolgozását jelentősen megkönnyíti ha képezzük a  $H_1$  mátrix úgynevezett szinguláris érték dekompozícióját, azaz legyen

$$H_1 = U \Sigma V^\dagger \quad (97)$$

ahol  $U$  és  $V$  hermitikus mátrixok illetve  $\Sigma$  egy diagonális mátrix nem negatív valós elemekkel. Minden mátrix felbontható ilyen alakban. Könnyen belátható, hogy  $H_1$  szingularitása  $\Sigma$  egy vagy akár több diagonális elemének nulla voltának következménye. Általában a konvenció szerint a  $\Sigma$  diagonális elemei csökkenő sorrendbe vannak rendezve.

Vezessük be a következő unitér transzformációkat:

$$\hat{U} = \begin{pmatrix} \ddots & \ddots & 0 & 0 & 0 \\ \ddots & U & 0 & 0 & 0 \\ 0 & 0 & U & 0 & 0 \\ 0 & 0 & 0 & U & \ddots \\ 0 & 0 & 0 & \ddots & \ddots \end{pmatrix}, \quad \hat{V} = \begin{pmatrix} \ddots & \ddots & 0 & 0 & 0 \\ \ddots & V & 0 & 0 & 0 \\ 0 & 0 & V & 0 & 0 \\ 0 & 0 & 0 & V & \ddots \\ 0 & 0 & 0 & \ddots & \ddots \end{pmatrix}. \quad (98)$$

Ha  $\hat{U}$  val eltranszformáljuk a (64) Hamilton operátort akkor  $H_1$  illetve  $H_0$  az alábbi módon transzformálódnak

$$H'_1 = U^\dagger H_1 U = \Sigma V^\dagger U, \text{ illetve } H'_0 = U^\dagger H_0 U. \quad (99)$$

Ha pedig a transzformációt a  $\hat{V}$  operátorral hajtjuk végbe akkor a

$$H'_1 = V^\dagger H_1 V = V^\dagger U \Sigma, \text{ illetve } H'_0 = V^\dagger H_0 V. \quad (100)$$

transzformált mennyiségekre jutunk. Vizsgáljuk azt az esetet amikor a  $\Sigma$  mátrix első  $n$  eleme nem zérus a maradék  $N - n$  pedig nulla. Ekkor ha az  $\hat{U}$  transzformációt alkalmazzuk a teljes Hamilton-operátorra akkor a transzformált mennyiségek a következő struktúrát fogják öltetni

$$H'_0 = \begin{pmatrix} H_0^m & W \\ W^\dagger & H_0^d \end{pmatrix}, \text{ illetve } H'_1 = \begin{pmatrix} K & L \\ 0 & 0 \end{pmatrix}. \quad (101)$$

Itt  $H_0^m$  és  $K$   $n \times n$ -es mátrixok,  $H_0^d$   $(N-n) \times (N-n)$ -es,  $W$  és  $L$  pedig  $n \times (N-n)$ -es.

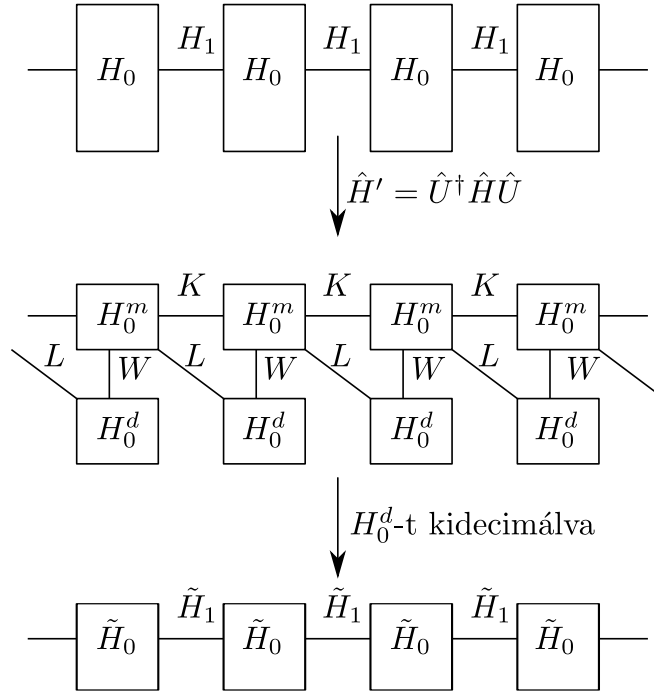


Figure 8: A  $H_1$  probléma megoldása  $\hat{U}$ -val való transzformáció decimálás segítségével.

Az 8. ábra segítségével könnyen leolvasható hogy miután minden elemi cellában kidecimáltuk a  $H_0^d$ -vel leírt szabadsági fokokat az új

$$\tilde{H}_0 = H_0^m + W(EI - H_0^d)^{-1}W^\dagger + L(EI - H_0^d)^{-1}L^\dagger, \quad (102)$$

$$\tilde{H}_1 = K + L(EI - H_0^d)^{-1}W^\dagger \quad (103)$$

mennyiségek segítségével már nem ütközünk invertálási problémákba.

Ha  $\hat{V}$  vel transzformáljuk a Hamilton-operátort akkor a transzformált mennyiségek struktúrája

$$H'_0 = \begin{pmatrix} H_0^m & W \\ W^\dagger & H_0^d \end{pmatrix}, \text{ illetve } H'_1 = \begin{pmatrix} K & 0 \\ L & 0 \end{pmatrix} \quad (104)$$

lesz. Ezekből decimálás után a

$$\tilde{H}_0 = H_0^m + W(EI - H_0^d)^{-1}W^\dagger + L^\dagger(EI - H_0^d)^{-1}L, \quad (105)$$

$$\tilde{H}_1 = K + W(EI - H_0^d)^{-1}L \quad (106)$$

redukált Hamilton-operátort kapjuk.

## 8.2. Az áram operátor és a spektrum degenerált alterei.

Felírva a (64) Hamilton-operátorhoz tartozó áramoperátort belátható hogy az adott energián jelenlévő síkhullám jellegű állapotok lineárkombinációja diagonalizálják azt, feltéve hogy egy adott energián egy adott hullámszámhoz csak egy állapot tartozik. Ekkor a

$$\underline{\Psi} = \sum_p \alpha_p e^{ik_p z} |\phi_p\rangle. \quad (107)$$

alakú állapot  $|\alpha|^2$  áramot képvisel. Ha egy adott  $k$  hullámszámhoz több állapot is tartozik akkor a fenti lineárkombináció nem feltétlenül diagonalizálja az áramoperátort. Ebben az esetben a szórás mátrix nem lesz unitér. Ezt orvosolni tudjuk ha az adott alteret kifeszítő hullámfüggvényeken végrehajtunk egy unitér transzformációt.

Legyenek  $|\phi_p^i\rangle$  a  $k_p$  hullámszámhoz tartozó hullámfüggvény komponensek. Ekkor ebben az altérben az áramoperátor elemeire a következő kifejezést kapjuk:

$$J_{i,j} = -i \langle \phi_p^i | H_1 e^{ik_p} - H_1 e^{ik_p} | \phi_p^j \rangle \quad (108)$$

Diagonalizálja ezt a mátrixot egy  $X$  unitér transzformáció, azaz

$$J^d = X^\dagger J X \quad (109)$$

ahol  $J^d$  már diagonális. Ekkor a keresett állapotok melyek diagonalizálják az áram operátort a

$$|\phi_p^l\rangle = \sum_i X_{i,l} |\phi_p^i\rangle \quad (110)$$

alakban állnak elő.